

شبیه‌سازی منیپولیشن نانولوله‌های کربنی و آلوتروپ‌های آن به روش دینامیک مولکولی

محرم حبیب‌نژاد کورایم^{۱*}، حسن اصلانی پایان^۲، احمد همایونی^۳، روزبه نوحی حفظ‌آباد^۲

۱- استاد، مهندسی مکانیک، قطب علمی مکانیک جامدات تجربی و دینامیک، دانشکده مهندسی مکانیک، دانشگاه علم و صنعت ایران، تهران

۲- دانشجوی کارشناسی ارشد، مهندسی مکانیک، دانشگاه علم و صنعت ایران، تهران

۳- دانشجوی دکترا، مهندسی مکانیک، دانشگاه علم و صنعت ایران، تهران

* تهران، صندوق پستی hkorayem@iust.ac.ir.16846-13114

چکیده

در این مقاله به مدل‌سازی و شبیه‌سازی فرآیند منیپولیشن نانولوله‌های کربنی پرداخته شده است. از آن جایی که در منیپولیشن نانولوله‌های کربنی که در منیپولیشن نانولوله‌های کربنی با طول‌های بیکسان در این فرآیند مورد مطالعه هندسی، منیپولیشن چهار آلوتروپ کربنی با جرم برابر انجام شد و تأثیر قطر نانولوله‌های کربنی با طول‌های بیکسان در این فرآیند مورد مطالعه قرار گرفت. به این منظور از روش دینامیک مولکولی که متناسب با ابعاد سیستم مورد مطالعه است استفاده شد تا درک صحیحی از فرآیند منیپولیشن و دینامیک آن ارائه دهد. در مطالعه‌ی منیپولیشن آلوتروپ‌های کربنی با جرم بیکسان مشخص شد که هرچه آلوتروب از حالت کروی منیپولیشن شود، روند منیپولیشن تسهیل می‌گردد و نیروی وارد بر سوزن کاهش خواهد یافت. زیرا در حالت شعاع انتخابی ذره بیشتر شده و شکل خارج شود، زیرا در محل تماش ذره و زیرلا یه هنگام منیپولیشن کاهش می‌یابد. در فرآیند منیپولیشن نانولوله با قطرهای مختلف، افزایش تعییرات انرژی پتانسیل در محل تماش ذره و زیرلا یه هنگام منیپولیشن کاهش می‌یابد. در فرآیند منیپولیشن نانولوله با افزایش قطر نانولوله سبب تعییر در نیروی وارد شده بر سوزن و افزایش مقدار آن می‌گردد. مقدار عمق نفوذ در طی فرآیند منیپولیشن برای هر نانولوله استخراج شد، نتایج نشان داد که با افزایش قطر نانولوله، مقدار عمق نفوذ افزایش می‌یابد. از آنجایی که آلوتروپ‌های کربنی به عنوان حامل‌های دارویی کاربرد دارند، نتایج این مطالعه در بهبود فرآیندهای عملی و کاهش هزینه‌های آزمایشگاهی قابل استفاده است.

اطلاعات مقاله

مقاله پژوهشی کامل

دریافت: ۰۹ تیر ۱۳۹۵

پذیرش: ۱۰ مرداد ۱۳۹۵

ارائه در سایت: ۲۱ شهریور ۱۳۹۵

کلید واژگان:

منیپولیشن

نانولوله‌های کربنی

آلوتروپ‌های کربنی

دانیمیک مولکولی

آناتریت هندسی

Simulation of carbon nanotubes and its allotropes manipulation by molecular dynamics approach

Moharam Habibnejad Korayem^{*}, Hasan Aslani Payan, Ahmad Homayooni, Rouzbeh Nouhi Hefzabad

Robotic Research Laboratory, Center of Excellence in Experimental Solid Mechanics and Dynamics, School of Mechanical Engineering, Iran University of Science and Technology, Tehran, Iran
* P.O. Box 16846-13114, Tehran, Iran, hkorayem@iust.ac.ir

ARTICLE INFORMATION

Original Research Paper
Received 29 June 2016
Accepted 31 July 2016
Available Online 11 September 2016

Keywords:
Manipulation, Nanorobotics
Molecular Dynamics
Allotropes of carbon
Geometry effects

ABSTRACT

In this paper, the modeling and simulation of manipulation of carbon nanoparticles have been investigated. The geometry plays a significant role in the dynamic behavior of nanoparticles manipulation and the evaluation of different geometric shapes of nanoparticles in this process is very important. To examine the geometrical effects, the manipulation of four different kinds of nano-carbon allotropes with the same mass has been studied. Furthermore, the manipulation of carbon nanotubes with different diameters has been simulated. For this purpose, the molecular dynamics method was used to improve our knowledge and understanding about the nanomanipulation processes and dynamics. It is found that the acting force on the tip decreases as the nanoparticle shape varies from sphere to cylinder in the manipulation of carbon allotropes with the same mass, further the manipulation is facilitated. In this state, the curvature radius of nanoparticle increases and the potential energy between nanoparticle and substrate reduces. In the manipulation of nanotubes, the results of nanotubes manipulation showed that increasing the diameter of the nanotube caused the force on the probe to increase. The indentation depth was extracted for each nanotube during the manipulation process. The results indicated that by increasing the diameter of the nanotube, the indentation depth increases. According to the application of carbon-based structures and nanotubes as the drug carriers in medicine, the results of this study can be used to improve the experimental projects and reduce the time and cost of them.

استفاده از میکروسکوپ نیروی اتمی^۱ (AFM)، یکی از این روش‌ها در مقیاس نانو است. کنترل فرآیند منیپولیشن نیاز به درک صحیحی از دینامیک رفتار نانولوله در طی این فرآیند دارد. و این مهم مورد توجه بسیاری از پژوهشگران

استفاده‌ی گسترده از نانومیله‌ها و نانولوله‌ها در طراحی و ساخت نانوساختارها، زمینه را برای تحقیق و توسعه بر روی این نانومواد فراهم کرده است. روش‌های مختلفی برای ساخت در این ابعاد وجود دارد که منیپولیشن، با

^۱ Atomic Force Microscope

مولکولی درشت دانه است. کورایم و همکارانش با استفاده از روش دینامیک مولکولی درشت‌دانه⁸ (CGMDS) در طی مطالعه‌ای تلاش کردند تا تأثیرات تخریب سوزن را بر روی مقدار خطای موقعیت یابی در مبیولیشن بررسی کنند [9].

با توجه به پیشینه‌ی موضوع و مطالعات انجام شده، مشاهده می‌گردد که اکثر شبیه‌سازی‌های انجام شده بر روی ذرات فلزی و یا درنهایت نانوذرات زیستی در این زمینه انجام شده است. در این مقاله به شبیه‌سازی فرآیند مبیولیشن نانولوله‌های کربنی با رویکرد دینامیک مولکولی پرداخته می‌شود و نیروی لازم برای مبیولیشن استخراج می‌گردد. علاوه بر آن تأثیر پارامتر قطر نانولوله مورد بررسی قرار می‌گیرد. در ادامه به منظور بررسی تأثیر هندسه‌ی نانوذرات در مبیولیشن، مبیولیشن آلتروپهای کربنی انجام شده است. نتایج این گونه مطالعات علاوه بر کاهش هزینه‌های آزمایشگاهی، می‌تواند به عنوان تخمینی در فعالیت‌های آزمایشگاهی استفاده شود.

2- مدل‌سازی و شبیه‌سازی

"شکل 1" سیستم مورد مطالعه را نشان می‌دهد. این سیستم شامل سطح مبنا، نانوذره و سوزنی می‌باشد که به عنوان مبیولاتور عمل می‌کند. مدل-سازی این سیستم به روش دینامیک مولکولی انجام می‌شود. مطابق با قانون دوم نیوتون، برای یک ذره کربوی (مولکول، اتم و...) i که در حرکت انتقالی نوسط نیروی خارجی F_i قرار دارد، می‌توان میان حرکت ذره و نیروی خارجی اعمالی، معادله‌ی (1) را بیان کرد.

$$(1) F_i = m\ddot{r}_i$$

در این رابطه m جرم ذره است که مستقل از مکان، سرعت و زمان فرض می‌شود. r_i نیز بردار موقعیت ذره نسبت به یک دستگاه مرجع ثابت می‌باشد. شتاب نیز از معادله‌ی (2) محاسبه می‌شود. برای N ذره قانون دوم نیوتون به صورت $3N$ معادله دیفرانسیل مرتبه دوم معمولی ظاهر می‌گردد.

$$(2) \ddot{r}_i = \frac{d^2r_i}{dt^2}$$

برای هر اتم و هر بعد از سیستم مختصات مورد استفاده، معادلات حرکت هیلتونی شامل دو معادله دیفرانسیل مرتبه اول هستند. در مقابل، فرمول‌بندی‌های لاگرانژ و نیوتون یک معادله دیفرانسیل مرتبه دوم دارند. بنابراین در یک سیستم شامل N اتم، برای محاسبه مسیرها باید مجموعه‌ای از $3N$ معادله دیفرانسیل مرتبه دوم (1) به طور معادل، مجموعه‌ای از $6N$ معادله دیفرانسیل مرتبه اول (3) را حل کرد. نتایج حاصل از هر سه روش بکسان است، اما در موارد مختلف ممکن است یکی از معادلات به دلیل شکل ریاضی ساده‌تر، ترجیح داده شود.

$$(3) \dot{r}_i = \frac{\partial H}{\partial p_i} = \frac{p_i}{m}, \quad \dot{p}_i = -\frac{\partial H}{\partial r_i} = F_i$$

که در این معادله مقادیر H و p_i به ترتیب همیلتونین، انرژی پتانسیل و اندازه حرکت می‌باشند.

تمامی مبیولیشن‌های انجام شده بر روی سطح مبنایی از جنس طلا و در دمای 290 کلوین صورت گرفته است، سطح مبنا در شبیه‌سازی‌های مبیولیشن آلتروپهای کربنی، مکعبی با ابعاد $100 \times 9.3 \times 70$ می‌باشد که طول آن در راستای مبیولیشن 70 آنگستروم است و مجموعه‌ی آن از 3500 اتم ساخته شده است، همچنین ابعاد سطح مبنا برای نانولوله‌ها برابر با $132 \times 20 \times 110$ است که طول آن در راستای مبیولیشن 110 آنگستروم است و عرض آن متناسب با ابعاد نانولوله‌ها و با توجه به مقدار شعاع قطع و

بوده است. مرادی و همکارانش به بررسی دینامیکی مبیولیشن نانولوله بر روی یک سطح مبنا الاستیک با استفاده از AFM پرداختند، آن‌ها نشان دادند که مدهای دینامیکی میکرومیله‌ها و نانومیله‌ها متفاوت می‌باشد. غلتش، یک مد غالب در مبیولیشن میکرومیله می‌باشد، در حالی که لغزش در هل دادن نانومیله به عنوان مد دینامیکی غالب مشاهده شده است [1]. برای ساده کردن معادلات سیستم می‌توان از فرض صلب بودن نانومیله استفاده کرد. نکو و همکارانش از این قید در مبیولیشن نانومیله بهره برdenد [2]. از آن جایی که نانومیله‌ها و نانولوله‌ها هندسه‌ای استوانه‌ای دارند، با در نظر گرفتن شکلی کروی برای نوک سوزن، می‌توان از مدل‌های تماسی مناسب برای بررسی سطح تماس بین سوزن و نانوذره استفاده کرد [3]. با این کار می‌توان ناحیه‌ی تماس بین نانوذره و سوزن را مورد بررسی قرار داد. نکته‌ی قابل توجه در استفاده از مدل‌های مکانیک تماس، توجه به ابعاد سیستم مورد مطالعه است زیرا در این مدل‌ها از خواص مواد در حالت ماکرو و از تئوری‌های مکانیک محیط پیوسته استفاده می‌شود. کورایم و همکارانش به بررسی مبیولیشن میکرو/نانوذرات مختلف استوانه‌ای با مدل‌های تماسی بر پایه تئوری‌های هرتز¹، لاندبرگ²، داسون³، هوپریچ⁴ و نیکپور⁵ پرداختند [4].

روش مدل‌سازی در هر فرآیندی با توجه به ابعاد آن سیستم و ویژگی‌های ساختاری آن تعیین می‌گردد. در صورتی که ابعاد بسیار کوچک گردد (در ابعادی حدود 100 nm و کمتر از آن) سیستم‌های مورد بررسی دارای خواص فیزیکی پیوسته‌ای نیستند و در آن صورت نیاز است تا رویکردهایی مناسب با ساختار مولکولی و گستره‌ی جهت بررسی این گونه سیستم‌ها مورد استفاده قرار گیرند. دینامیک مولکولی یکی از روش‌هایی است که برای مطالعه سیستم‌های N-ذره‌ای در مقیاس‌های کوچک، کاربرد فراوان دارد [5]. از همین رو مطالعاتی با رویکرد دینامیک مولکولی در مبیولیشن نانوذرات انجام شده است. محبوی و همکارانش در مطالعه‌ای به بررسی کیفی فرآیند مبیولیشن به وسیله‌ی شبیه‌سازی دینامیک مولکولی دویعده پرداختند. سیستمی که آن‌ها مورد بررسی قرار دادند شامل یک سوزن، دو نانوذره و یک سطح مبنای است. تمرکز اصلی آن‌ها در این بررسی بر روی نانوذرات فلزی بود. آن‌ها به منظور مطالعه سیستم ذکرشده که از عناصر واسطه متفاوت تشکیل شده‌است، از دینامیک نوز-هوور⁶ و پتانسیل بین‌اتمی ساتن-چن⁷ بهره برdenد [6]. محبوی و همکارانش در کاری مشابه به مطالعه پارامتری بر روی فرآیند مبیولیشن پرداختند و با توجه به تأثیرات دما، نوع جنس و ابعاد، میزان موفقیت فرآیند مبیولیشن با استفاده از دینامیک مولکولی صفحه‌ای توسط آثار برآورد شد [7]. از نانولوله‌ها به عنوان سوزن در میکروسکوپ نیروی اتمی نیز استفاده می‌شود. پیشکاری و همکارانش به شبیه‌سازی سیستم مبیولیشن به روش دینامیک مولکولی پرداختند. آن‌ها از نوعی پروتئین به عنوان مولکول زیستی، از یک کربنی تک دیواره به عنوان سوزن مبیولیشن و از یک ورقه‌ی گرافن دو لایه به عنوان سطح مبنا در این شبیه‌سازی استفاده کردند [8]. دینامیک مولکولی دارای محدودیت‌هایی است که از مهم‌ترین آن‌ها می‌توان به نیازمند بودن آن به ظرفیت محاسباتی اشاره کرد. یکی از روش‌های بهینه‌سازی و استفاده‌ی حداقلی از ظرفیت‌های محاسباتی، استفاده از روش دینامیک

¹ Hertz

² Lundberg

³ Dowson

⁴ Hoeprich

⁵ Nikpur

⁶ Nose-Hoover

⁷ Sutton-Chen

* Coarse Grained Molecular Dynamics

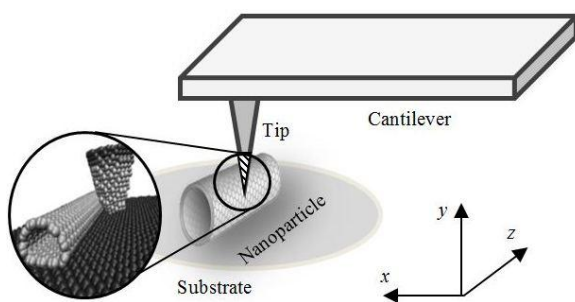


Fig. 1 Simulation setup

شکل ۱ مجموعه‌ی شبیه‌سازی

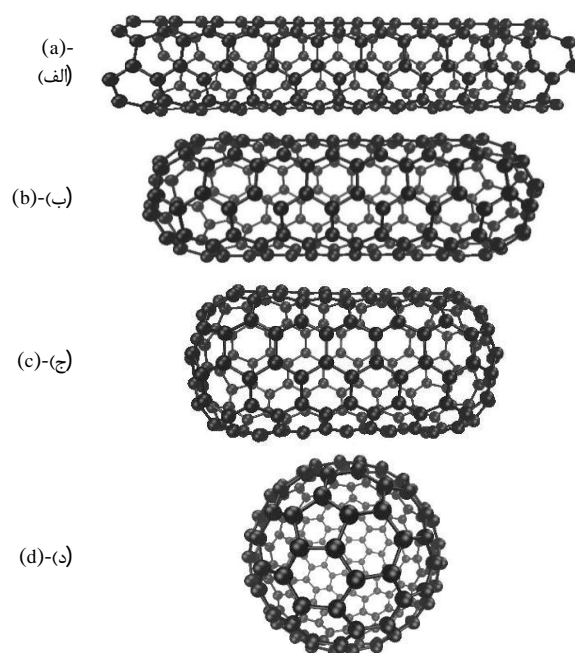


Fig. 2 The four kind of carbon allotropes for manipulation; a- nanotube (4,4), b- CNT (5,5) capped by C60, c- CNT (6,6) capped by fullerene No. 134, d- C180

شکل ۲ چهار نوع الوتروب کربنی برای منیپولیشن؛ االف- نانولوله‌ی (4,4)، ب- نانولوله‌ی کربنی (5,5) سرپوش خورده با C60، ج- نانولوله‌ی کربنی (6,6) سرپوش خورده با فلورون شماره‌ی 134، د- C180

جدایش بین یک اتم و همسایه‌های آن است. در این روش انرژی پتانسیل یک اتم از معادله‌ی (4) پیروی می‌کند.

$$E_i = F_\alpha \left(\sum_{i \neq j} \rho_\beta(r_{ij}) \right) + \frac{1}{2} \sum_{i \neq j} \phi_{\alpha\beta}(r_{ij}) \quad (4)$$

که در این معادله F انرژی ادغام و تابعی از چگالی الکترونی اتمی (ρ) است. ϕ عبارت است از پتانسیل جفتی موثر، α و β نیز نوع عناصر i و j را مشخص می‌کنند [11]. پتانسیل ترسوف برای استفاده در سیستم‌های کووالانسی چندجزئی توسعه یافته است، و همبستگی‌های دوجسمی و چندجسمی را به شیوه‌ای مؤثر در یک مدل ترکیب می‌کند. ایده اصلی این پتانسیل آن است که در سیستم‌های واقعی، قدرت هر پیوند به محیط ضعیفتری نسبت به اتمی با همسایه‌های کمتر تشکیل می‌دهد. شکل تابع پتانسیل ترسوف به صورت معادله‌ی (5) است.

اعمال شرایط دوره‌ای انتخاب شده است. قسمتی از بخش تحتانی سطح مینا به ضخامت 2 آنگستروم به منظور عدم جلبجایی مقید شده است تا از حرکت‌های نسبی و اضافی آن جلوگیری شود.

برای شبیه‌سازی اجزایی از سیستم که از جنس سیلیکون می‌باشد، از شبکه‌بندی الماسی استفاده شده است. ثابت شبکه برای اتم‌های سیلیکون در این ساختار برابر با 5.63 آنگستروم است. در تمامی شبیه‌سازی‌ها، سوزن از هندسه‌ی یک مخروط ناقص برخوردار است، قطرهای بزرگ و کوچک این مخروط ناقص به ترتیب 26 و 8 آنگستروم و طول آن 31 آنگستروم است. مجموعه‌ی اتم‌های سوزن در این حالت به تعداد 667 اتم می‌رسند. در فرآیند منیپولیشن انجام شده برای بطرف‌سازی حرکت رندومی نانوذره‌ی هدف، ابتدا نانوذره و سطح مینا به دور از شعاع قطعه^۱ یکدیگر به پایداری رسیده‌اند و سپس سطح مینا به آرامی به نانوذره نزدیک می‌شود تا در شعاع قطعه آن قرار گیرد و جذب سطح مینا شود. به سیستم زمان داده می‌شود تا نانوذره بر روی سطح مینا پایدار شود، نانوذره همچنان بر روی سطح مینا به مقدار اندکی حرکت رندومی دارد. با اضافه کردن سوزن پایدار شده در دمای 290 کلوین، سیستم آماده انجام منیپولیشن می‌شود.

برای جابجایی نانوذره‌ی هدف توسط سوزن، به قسمت بالایی آن با ارتفاع 5 آنگستروم قید سرعت ثابت شده است. فرآیند آزمایشگاهی منیپولیشن در سرعتی حدود 10^{-5} m/s انجام می‌شود. با توجه به توان ابزارهای محاسباتی این کار غیرقابل انجام است. مطالعات انجام شده نشان می‌دهد که در شبیه‌سازی‌های دینامیک مولکولی از این فرآیند، سرعت $2 m/s$ می‌تواند دقیق خوبی از نتایج را گزارش کند [10]. نویسنده‌گان به منظور افزایش این دقیق، از سرعت $0.5 m/s$ استفاده کردند. سرعت ثابت 0.005 آنگستروم بر پیکوثانیه سبب جابجایی نانوذره می‌گردد و فرآیند منیپولیشن با روش هل دادن انجام می‌شود.

نانوذرات هدف در این مطالعه شامل نانولوله‌های آرمچیر (20,20) با قطری برابر حدوداً 27.13 آنگستروم و 3280 اتم، (10,10) با قطری 13.5 آنگستروم و 1640 اتم و (5,5) با قطری برابر با 6.7 آنگستروم و 820 اتم هر کدام به طول 10 نانومتر هستند.

پس از انجام منیپولیشن نانولوله‌ها با قطرهای مختلف، به منظور بررسی تأثیر شکل هندسی منیپولیشن چهار نانوذره‌ی کربنی با اشکال هندسی مختلف و جرم برابر مورد مطالعه قرار گرفت. این اشکال شامل نانولوله (4,4) (4) به طول 25.788 و قطر 5.46 آنگستروم، نانولوله (5,5) سرپوش خورده با فلورون C60 به طول 21.694 و قطر 6.78 آنگستروم، نانولوله (6,6) سرپوش خورده با فلورون شماره 134 به طول 17.024 و قطر 8.14 آنگستروم و نیز فلورون C180 به قطر 12.1 آنگستروم بوده که برای بررسی تأثیر تغییر شکل هندسی ساختارهای کربنی، شبیه‌سازی شده است. تعداد اتم‌های این چهار ذره همگی 180 اتم می‌باشد تا تنها تأثیر روند تغییر شکل هندسی از یک نانولوله به یک فلورون بررسی گردد. "شکل ۲" هندسه‌ی انواع الوتروب‌های مدل شده در این تحقیق را نشان می‌دهد.

برای تعریف برهمنکش میان اتم‌ها از پتانسیل‌های مدل اتم ادغام شده^۲ EAM [11]، ترسوف^۳ [12] و لnard-جنز^۴ [13] استفاده شده است. مدل اتم ادغام شده یا روش اتم ادغام شده، یک تقریب توصیف انرژی بین اتم‌ها و یکپتانسیل بین اتمی است. در این روش انرژی تابعی از حاصل جمع توابع

¹ Cutoff radius² Embedded Atom Model³ Tersoff⁴ Lennard-Jones

با قطر حدوداً 27 آنگستروم دارای دامنه نوسان بیشتری نسبت به دو نانولوله دیگر است. میانگین نیروی موردنیاز برای جابجایی نانولوله (20,20) 0.7186 nN، برای جابجایی نانولوله (10,10) 0.7186 nN و برای جابجایی نانولوله (5,5) 0.3134 nN است. در نتیجه می‌توان به این جمع‌بندی رسید که با افزایش قطر، میزان نیروی وارد بر سوزن افزایش می‌یابد. این افزایش به دلیل جذب و تشکیل پیوندهای بیشتر نانولوله (20,20) با سطح مبنای است که برای شکستن آن‌ها نیروی بیشتری موردنیاز است. "شکل 5" عمق نفوذ و سطح تماس را در منیپولیشن یک نانولوله کربنی نشان می‌دهد. نتایج بررسی عمق نفوذ در سطح تماس نانولوله‌های (20,20)، (10,10) و نانولوله (5,5) در هنگام منیپولیشن و در حین تماس با سوزن در "شکل 6" آورده شده است.

میانگین عمق نفوذ سطح تماس در منیپولیشن نانولوله (20,20) برابر 3.1 آنگستروم و در نانولوله (10,10) برابر 1.8 آنگستروم و در نانولوله (5,5) برابر 0.95 آنگستروم می‌باشد که به دلیل انعطاف بیشتر و نیروی منیپولیشن بزرگ‌تر، در نانولوله (20,20) بیشتر است. این معیار را می‌توان در زمانی که از نانولوله به عنوان حامل ذرات دیگر استفاده می‌شود به کار برد. با توجه به میزان قطر و عمق نفوذ نانولوله، می‌توان از نانولوله مناسب برای حمل ذرات با سایزهای مختلف استفاده نمود.

همان‌طور که ذکر شد، بهمنظور بررسی تأثیر هندسه‌ی نانوذره، منیپولیشن بر روی چهار آلوتروپ کربنی (ا) جرم برابر) انجام شد. "شکل 7" ماکریتم و میانگین نیروی وارد بر سوزن را برای آن‌ها نشان می‌دهد. "شکل 8" تغییرات نیروی عمودی و افقی وارد بر سوزن را بر حسب جابجایی سوزن برای هر یک از نانوذرات نشان می‌دهد. تغییرات نیروی منیپولیشن برای آلوتروپ‌های کربنی نشان می‌دهد که به دلیل یکسان بودن تعداد اتم‌ها با تبدیل هندسه از استوانه به کره، عمق ناحیه‌ی جذب در بستر افزایش می‌یابد (ذره در بستر بیشتر فرو می‌رود) و این امر سبب افزایش نیروی موردنیاز برای جابجایی ذره در بستر می‌گردد. علاوه بر آن احتمال سطح تماس سوزن و ذره باعث افزایش برهمکنش آن دو و سبب می‌شود. نیروی عمودی بین ذره و سطح مبنای افزایش یابد و فرایند منیپولیشن نیاز به نیروی بیشتری داشته باشد تا بتواند نانوذره را بر روی سطح جابجا کند. برای بررسی کمی‌تر این داده‌ها از مقایسه‌ی ماکریتم نیروی منیپولیشن و میانگین نیروی آن استفاده شده است (شکل 7).

جدول 1 پارامترهای شبیه‌سازی [15]

Table 1 The simulation parameters [15]				
اتم	جرم (amu)	ϵ (eV)	σ (Å)	ثابت شبکه شبكه‌بندی
کربن	12.0107	0.006843	3.400	الماضی
طلاء	196.97	0.441439	2.282	FCC
سیلیکون	28.086	0.001734	4.053	الماضی

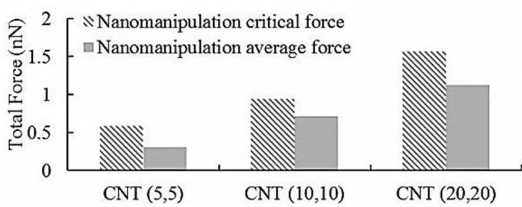


Fig. 3 Manipulation critical and average forces of the nanotubes with various diameters

شکل 3 نیروی بحرانی و میانگین نیروی منیپولیشن برای نانولوله‌ها با قطرهای مختلف

$$E_{\text{Tersoff}} = \frac{1}{2} \sum_{i \neq j} U_{ij} \quad (5)$$

که در آن $[U_{ij}] = f_C(r_{ij})[f_R(r_{ij}) - \gamma_{ij}f_A(r_{ij})]$ است. f_A ، f_R و f_C یک تابع قطع است

برتیب پتانسیل جفتی جاذبه‌ای و دافعه‌ای هستند و f_C در آن σ و ϵ پارامترهای لنارد-جونز هستند.

پتانسیل لنارد-جونز نخستین بار برای مطالعه‌ی خواص ترمودینامیکی گازهای نیز پیشنهاد شد [13] و از آن به بعد برای مطالعه‌ی سیستم‌های متنوعی به کار رفت. متداول‌ترین شکل این پتانسیل به صورت معادله (6) است. که در آن σ و ϵ پارامترهای لنارد-جونز هستند.

$$U(r) = 4\epsilon \left[\left(\frac{\sigma}{r} \right)^{12} - \left(\frac{\sigma}{r} \right)^6 \right] \quad (6)$$

برای تعریف برهمکنش بین ذرات فلزی از یک جنس، از پتانسیل EAM استفاده می‌شود. در شبیه‌سازی‌های انجام شده، برای تعریف میدان نیروی طلا از پتانسیل EAM و برای تعریف برهمکنش اتم‌های کربن از پتانسیل ترسوف که برای استفاده در سیستم‌های کووالانسی چندجزوی توسعه یافته است، استفاده شده و برهمکنش میان دو ماده‌ی غیر هم‌جنس در شبیه‌سازی‌ها بر مبنای پتانسیل لنارد-جونز 12-6 در نظر گرفته شده است.

مقادیر ضرایب لنارد-جونز مواد استفاده شده در شبیه‌سازی، در جدول 1 آورده شده است. برای مقدار σ در برهمکنش دو ذره دلخواه مانند A و B، از میانگین حسابی مقادیر دو جزء خالص استفاده می‌شود و عمق چاه آن (ϵ_{AB}) نیز از میانگین هندسی محاسبه می‌شود (عادلات (7) و (8)).

$$\sigma_{AB} = (\sigma_{AA} + \sigma_{BB})/2 \quad (7)$$

$$\epsilon_{AB} = \sqrt{\epsilon_{AA} + \epsilon_{BB}} \quad (8)$$

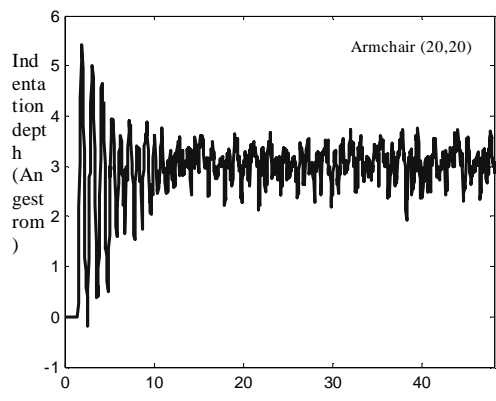
علاوه بر ثابت لنارد-جونز، نوع شبکه‌بندی و ثابت شبکه‌ی هریک از اتم‌ها در جدول 1 آورده شده است. برای کاهش تأثیرات محدودیت ابعادی، شرایط دوره‌ای در باکس شبیه‌سازی اعمال شد. از گام زمانی ps 0.001 و از هنگرد NVT برای تعادل شرایط ترمودینامیکی استفاده شده است، در این هنگرد از الگوریتم نوژه-هاور برای تثبیت دمایی در سیستم استفاده می‌شود به طوری که در این روش منبع دمایی جزئی از سیستم در نظر گرفته می‌شود و انرژی می‌تواند به صورت دینامیکی از منبع به سیستم و بر عکس جریان یابد.

شعاع قطع برای برهمکنش‌های غیرپیوندی در این شبیه‌سازی 15 آنگستروم درنظر گرفته شده است. شعاع قطع مناسب، یکی از پارامترهای تأثیرگذار در شبیه‌سازی فرآیند است. در حقیقت برهمکنش‌های ناپیوندی باقیستی برای تمام جفت اتم‌های موجود در سیستم محاسبه می‌شود. اما در بسیاری از مدل‌های برهمکنش، عملاً چنین کاری انجام نمی‌شود. پتانسیل لنارد-جونز بسرعت با فاصله افت می‌کند تا جاییکه در فاصله 2.5 σ پتانسیل لنارد-جونز تنها 1% مقدار آن در σ است. بنابراین می‌توان از برهمکنش میان اتم‌هایی که در فاصله‌ی زیادی از هم قرار دارند صرف نظر کرد [14]. با توجه به این موضوع، شعاع قطع 10.13 آنگستروم برای این شبیه‌سازی‌ها کفایت خواهد کرد که نویسنده‌گان برای دقت بیشتر از شعاع قطع 15 آنگستروم استفاده کرده‌اند.

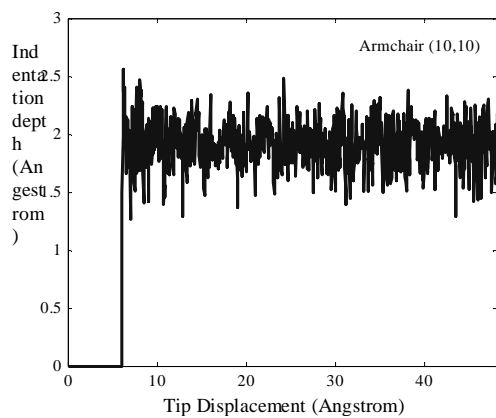
3- نتایج شبیه‌سازی و بحث

"شکل 3" مقدار نیروی بحرانی و میانگین نیروی منیپولیشن را برای سه نانولوله‌ای آرمچیر (20,20)، (10,10) و (5,5) نشان می‌دهد و تغییرات مؤلفه‌های نیرو برای این نانولوله‌ها در "شکل 4" نشان داده شده است. مقدار نیروی اولیه برای حرکت نانوذره، بیشتر از مقدار میانگین این پارامتر در طی منیپولیشن است. خروجی نیرو نشان می‌دهد که فرایند منیپولیشن نانولوله‌ای

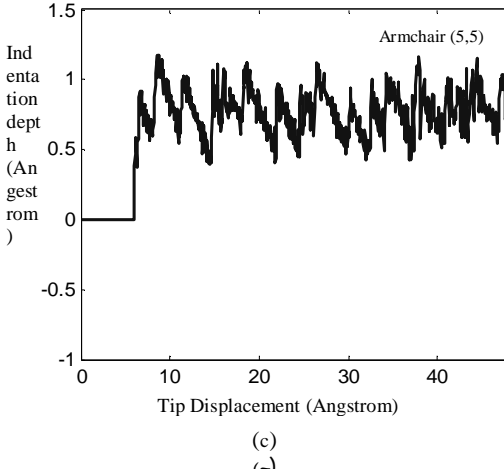
با توجه به این که تمامی شرایط در حین انجام فرآیند منیپولیشن یکسان



(الف)



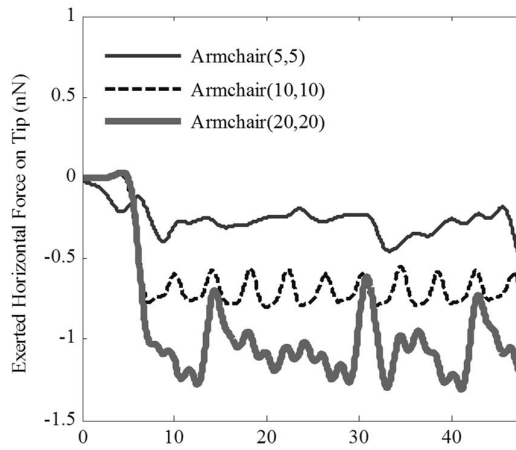
(ب)



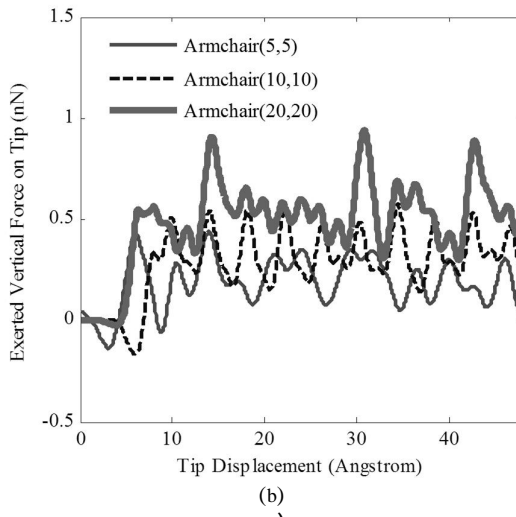
(ج)

شکل 6 عمق نفوذ برای نانولوله‌ها با قطرهای مختلف بر حسب جایگاهی سوزن؛ الف- آرمچیر (20,20)، ب- آرمچیر (10,10)، ج- آرمچیر (5,5)

است، می‌توان تأثیر هندسه را در میزان نیروهای مستخرج شده مشاهده کرد. می‌توان دلیل تفاوت این نیروها را در انحنای سطح تماس میان این چهار



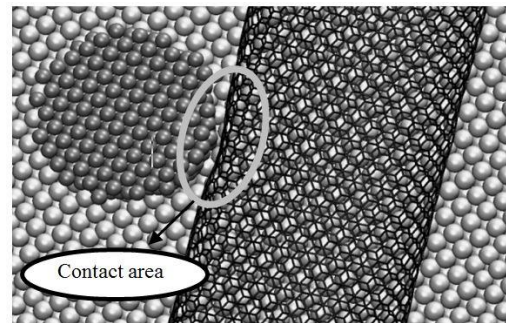
(الف)



(ب)

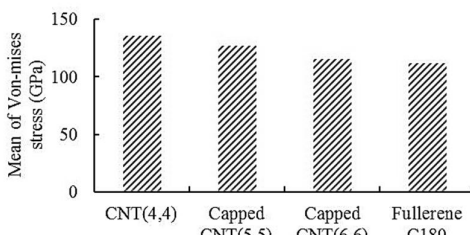
شکل 4 نیروهای منیپولیشن بر حسب جایگاهی سوزن برای نانولوله‌ها با قطرهای مختلف؛ الف- نیروی افقی منیپولیشن، ب- نیروی عمودی منیپولیشن

شکل 4 نیروهای منیپولیشن بر حسب جایگاهی سوزن برای نانولوله‌ها با قطرهای مختلف؛ الف- نیروی افقی منیپولیشن، ب- نیروی عمودی منیپولیشن



شکل 5 The indentation depth and contact area in the manipulation process

شکل 5 عمق نفوذ و سطح تماس در فرآیند منیپولیشن



شکل ۹ میانگین تنش فون میز فوی الوتروپ‌های کربنی

$$\sigma_v^2 = \frac{1}{2} \left[(\sigma_{xx} - \sigma_{yy})^2 + (\sigma_{yy} - \sigma_{zz})^2 + (\sigma_{zz} - \sigma_{xx})^2 \right] + 6(\sigma_{xy}^2 + \sigma_{zx}^2 + \sigma_{xy}^2) \quad (9)$$

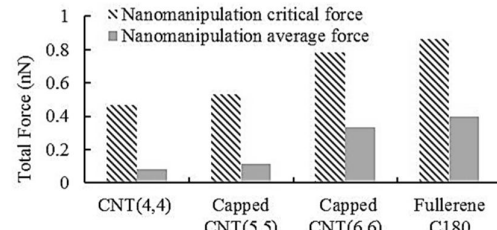
مقدار سطح تماس در CNT(4,4) کمترین و در C180 بیشترین مقدار را دارد. مشاهده می‌شود که تنش در آلوتروپ‌ها با افزایش سطح تماس کاهش پافته است. شکل ۹ بیانگر این مسئله است که با وجود افزایش نیروی منیپولیشن در فلورن‌ها تنش کاهش خواهد یافت.

۴. جمع‌بندی

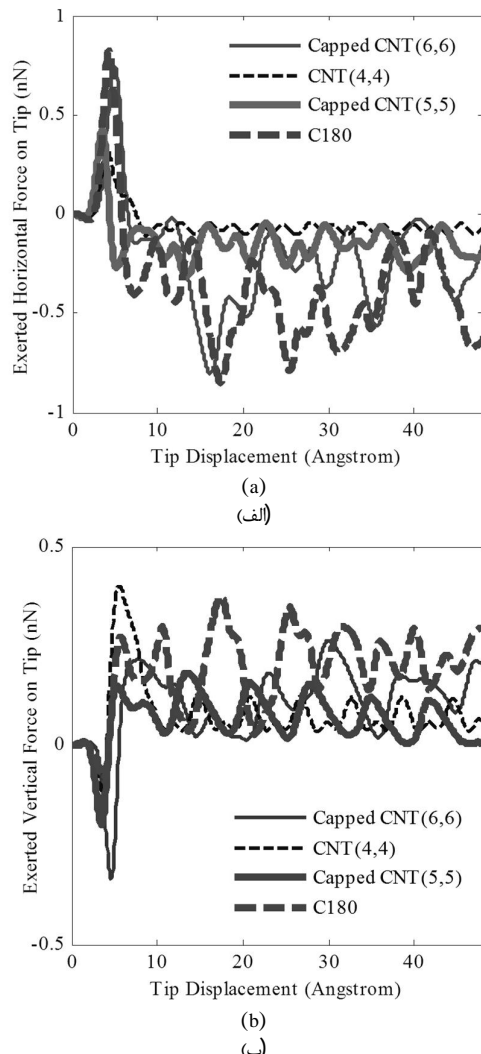
با اختراع میکروسکوپ نیروی اتمی و ورود آن به زمینه‌های پزشکی، الکترونیک و مواد، مطالعاتی در این زمینه‌ها شروع شد و سبب پیشرفت‌های چشمگیری در نانوساختارها و حوزه‌هایی چون MEMS شد. به این ترتیب کاربردهایی چون ساخت سیستم‌های میکرو الکترونیک و همچنین داروسانی و یا دست‌کاری ژن‌ها با استفاده از میکروسکوپ نیروی اتمی توسعه یافت. این کاربردها سبب شده است تا بررسی جابجایی نانو مواد با اشکال هندسی مختلف با استفاده از ابزارهایی چون AFM برای رسیدن و پیشرفت بیشتر در کاربردهای صنعتی و بیوتکنولوژی بیش از پیش مورد نیاز است. در مطالعه‌ی سیستم‌هایی با ابعاد نانو مشکلاتی چون محدودیت‌های شرایط آزمایشگاهی وجود دارد که با استفاده از شبیه‌سازی می‌توان فرایندهای منیپولیشن نانوذرات را مدل‌سازی کرد. دینامیک مولکولی یکی از روش‌هایی است که در آن می‌توان از بیزگی‌های در مقیاس نانو یک سیستم به خواص میکروسکوپی موردنظر دست پیدا کرد و دینامیک این ذره‌ها به همراه مکانیک آماری ارتباطی بین مفاهیم اتمی و مولکولی از یکسو و کمیت‌های قابل اندازه‌گیری مشاهده‌پذیر از سوی دیگر برقرار می‌کند.

با توجه به آنچه که بیان شد با استفاده از رویکرد دینامیک مولکولی به بررسی فرآیند منیپولیشن نانولوله‌های کربنی و تأثیر هندسه نانوذره‌ی هدف در فرآیند منیپولیشن به صورت سه‌بعدی پرداخته شد تا گامی در راستای عمق بخشیدن به آگاهی از آنچه در حال رخداد است برداشته شود. با انجام منیپولیشن نانولوله‌ها به صورت سه‌بعدی مشخص شد که افزایش قطر نانولوله سبب افزایش میزان چسبندگی نانولوله به سطح سطح میان گردد و میزان عمق نفوذ محل تماس نیز افزایش می‌یابد. در نانولوله (20,20) بدليل افزایش پیوندهای بین اتمی نانولوله و سطح مینا، نیروی منیپولیشن به ترتیب به میزان 0.4042 و 0.8094 (10,10) و نانولوله (5,5) بیشتر است. همچنین میزان عمق نفوذ نانولوله‌ها در حین تماس با سوزن در طی فرآیند منیپولیشن بررسی شد، میزان این عمق نفوذ می‌تواند در تعیین نانولوله‌ی حامل به منظور جابجایی ذرات دیگر مورد توجه قرار گیرد. به منظور تأثیر هندسه نانوذرات، فرآیند منیپولیشن

نانوذره و سطح سوزن دانست. زیرا با افزایش انحنای سطح تماس، نیروی عمودی وارد بر ذره بیشتر می‌شود و در نتیجه اتم‌ها با سطح مینا در گیرتر شده و حجم بیشتری از هر اتم از نانوذره در مجاورت اتم‌های سطح مینا قرار می‌گیرد و منیپولیشن سخت‌تر انجام می‌شود. برمنای معیار تنش فون میز [16] ماکزیمم (معادله‌ی (9)) تنش وارد بر ذرات در "شکل ۹" آورده شد.



شکل ۷ نیروی بحرانی و میانگین نیروی منیپولیشن برای آلوتروپ‌های کربنی



شکل ۸ نیروی منیپولیشن برای آلوتروپ‌های کربنی بر حسب جابجایی سوزن؛ (الف) نیروی افقی منیپولیشن، (ب) نیروی عمودی منیپولیشن

- [7] S. Mahboobi, A. Meghdari, N. Jalili, F. Amiri, Planar molecular dynamics simulation of metallic nanoparticles manipulation, *Proceeding of 8th IEEE Conference on Nanotechnology*, Texas: IEEE, pp. 163-166, 2008.
- [8] H. N. Pishkenari, S. Mahboobi, M. Mahjour, A. Meghdari, Simulation of Biomanipulation Using Molecular Dynamics, *Proceeding of International Mechanical Engineering Congress and Exposition*, Texas: American Society of Mechanical Engineers, pp. 137-143, 2012.
- [9] M. H. Korayem, V. Rahneshin, S. Sadeghzadeh, Coarse-grained molecular dynamics simulation of automatic nanomanipulation process: The effect of tip damage on the positioning errors, *Computational Materials Science*, Vol. 60, No. 1, pp. 201-211, 2012.
- [10] M. Kheirordin, H. N. Pishkenari, S. H. Mahboobi, Molecular dynamics study of bio-manipulation in aqueous media, *Micro & Nano Letters*, Vol. 11, No. 1, pp. 9-14 2016.
- [11] S. Foiles, M. Baskes, M. S. Daw, Embedded-atom-method functions for the fcc metals Cu, Ag, Au, Ni, Pd, Pt, and their alloys, *Physical Review B*, Vol. 33, No. 12, pp. 7983-7991, 1986.
- [12] J. Tersoff, Modeling solid-state chemistry: Interatomic potentials for multicomponent systems, *Physical Review B*, Vol. 39, No. 8, pp. 5566-5568, 1989.
- [13] J. E. Jones, On the determination of molecular fields. II. From the equation of state of a gas, *Proceedings of the Royal Society of London A on Mathematical, Physical and Engineering Sciences*, London: Royal Society, pp. 463-477, 1924.
- [14] T. Terao, Structural formation and many-body effect of concentrated dendrimer solutions by computer simulations, *Applied Crystallography*, Vol. 40, No. 1, pp. 581-584, 2007.
- [15] BIOSYM forcefield, Accessed on 11 August 2016; https://redmine.scorec.rpi.edu/anonsvn/lammps-cuda/tools/msi2lmp/biosym_frc_files/cvff.fr
- [16] R. v. Mises, Mechanik der festen Körper im plastisch-deformablen Zustand, *Nachrichten von der Gesellschaft der Wissenschaften zu Göttingen, Mathematisch-Physikalische Klasse*, Vol. 1913, No. 1, pp. 582-592, 1913.

نانوذرات فلورن C180 و نانولوله کربنی (4,4) و دو نانولوله دیگر سربوش شده (آلتوروب‌های کربنی) بررسی شد، نتایج نشان داد که هرچه هندسه‌ی نانوذرات کربنی به حالت کروی نزدیک می‌شوند نیروی وارد بر سوزن افزایش می‌باشد. این مهم به دلیل افزایش انحنا سطح تماس ذرات با سوزن است که سبب می‌شود نیروی عمودی بین ذره و سطح مبنا افزایش یابد و فرآیند مینیپولیشن نیاز به نیروی بیشتری داشته باشد تا بتواند نانوذره را بر روی سطح جابجا کند.

5- مراجع

- M. Moradi, A. Fereidon, S. Sadeghzadeh, Aspect ratio and dimension effects on nanorod manipulation by atomic force microscope, *Micro & Nano Letters*, IET, Vol. 5, No. 5, pp. 324-327, 2010.
- E. Gnecco, A. Rao, K. Mougin, G. Chandrasekar, E. Meyer, Controlled manipulation of rigid nanorods by atomic force microscopy, *Nanotechnology*, Vol. 21, No. 21, pp. 215702-215076, 2010.
- M. H. Korayem, H. Khaksar, R. N. Hefzabad, M. Taheri, Simulation of soft bacteria contact to be applied in nanomanipulation, *Modares Mechanical Engineering*, Vol. 14, No. 14, pp. 227-234, 2015. (in Persian)
- M. H. Korayem, H. Khaksar, M. Taheri, Modeling of contact theories for the manipulation of biological micro/nanoparticles in the form of circular crowned rollers based on the atomic force microscope, *Journal of Applied Physics*, Vol. 114, No. 18, pp. 183715-183727, 2013.
- D. Frenkel, B. Smit, Understanding molecular simulation: from algorithms to applications, Second Edition, pp.1-638, Cambridge, Massachusetts: Academic Press, 2001.
- S. Mahboobi, A. Meghdari, N. Jalili, F. Amiri, Qualitative Study of Nanoassembly Process: 2-D Molecular Dynamics Simulations, *Scientia*